

## ОБ ОБРАТНОЙ ЗАДАЧЕ АЭРОДИНАМИКИ КРЫЛА В СВЕРХЗВУКОВОМ ПОТОКЕ

Н. Ф. Воробьев

Институт теоретической и прикладной механики СО РАН, 630090 Новосибирск

В рамках линейной теории решается обратная задача аэродинамики крыла — определение вида несущей поверхности по заданной нагрузке. Используется решение Вольтерра волнового уравнения. При выполнении некоторых условий, накладываемых на определяющие параметры задачи, находятся решения в классе ограниченных функций. Приведены решения обратных задач в сверхзвуковом потоке для крыльев бесконечного размаха, треугольной с полностью дозвуковыми кромками и прямоугольной форм в плане.

Задачи обтекания невязким сверхзвуковым потоком тонкого слaboизогнутого крыла конечного размаха в линейной постановке сводятся к решению волнового уравнения для потенциала скорости с данными на базовой плоскости временно ориентированного типа. Представление решения волнового уравнения в форме Вольтерра позволяет выбрать в качестве определяющего параметра на базовой плоскости либо выводящую производную — геометрию крыла (прямая задача аэродинамики), либо нагрузку на крыле (обратная задача аэродинамики) [1].

Решение обратной задачи представляется в виде потенциала

$$\Phi(x, y, z) = \frac{y}{\pi} \iint_s \frac{\Phi'_\xi(\xi, \zeta)(x - \xi)}{[(z - \zeta)^2 + y^2] \sqrt{(x - \xi)^2 - [(z - \zeta)^2 + y^2]}} d\xi d\zeta, \quad (1)$$

где  $s$  — область зависимости точки  $M(x, y, z)$  на базовой плоскости  $\eta = 0$ ;  $\Phi'_\xi(\xi, \zeta)$  — перепад давления на плоскости  $\eta = 0$ .

Потенциал скорости в прямой и обратной задачах записывается в виде двойных интегралов, подынтегральные выражения (ядра интегральных операторов) которых содержат особенности. При нахождении газодинамических параметров потока (производных потенциала скорости) степень подынтегральных особенностей возрастает, при этом иногда бывает невозможно проведение в рамках ограниченных функций формальных операций дифференцирования, а иногда дифференцирование приводит к появлению таких особенностей, при которых интегралы становятся расходящимися. Часто используется прием признания существования интегралов в смысле Адамара [2]. Введение такой символики вносит не только осложнение в реализацию алгоритмов решения, но и требует иногда оправдания физически абсурдных результатов. Соблюдение правил дифференцирования интегралов с переменными пределами и требование необходимой гладкости поверхности крыла позволяют получать значения газодинамических параметров потока в классе ограниченных функций [3, 4].

Исходя из представления решения обратной задачи аэродинамики крыла в виде потенциала (1), зависимость нормальной производной  $\Phi'_y$  (геометрии крыла) от производной

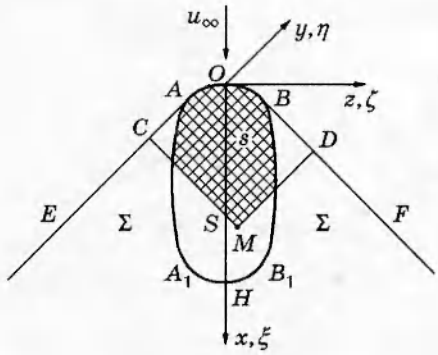


Рис. 1

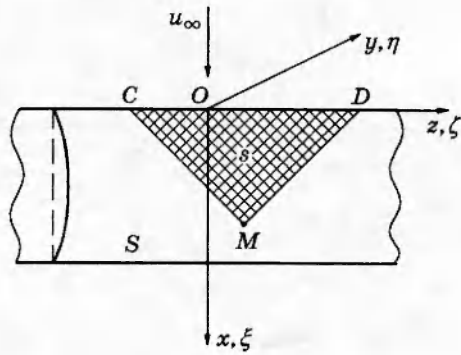


Рис. 2

$\Phi'_x$  (нагрузки на крыле) определим из формулы [1, 4]

$$\begin{aligned} \Phi'_y|_{y=0} = -\Phi'_z|_{y=0} + \frac{1}{\pi} \int_{COD} \left[ \Phi'_\xi \frac{\sqrt{(x-\xi)^2 - (z-\zeta)^2}}{(x-\xi)(z-\zeta)} \right]_{\zeta=f(\xi)} d\xi + \\ + \frac{1}{\pi} \iint_s \Phi''_{\xi\zeta} \frac{\sqrt{(x-\xi)^2 - (z-\zeta)^2}}{(x-\xi)(z-\zeta)} d\zeta d\xi. \end{aligned} \quad (2)$$

Здесь  $s(MCAOBDM)$  — область зависимости точки  $M(x, 0, z)$  на базовой плоскости  $\eta = 0$ ;  $\zeta = f(\xi)$  — уравнение линии  $COD$ , являющейся границей области  $s$  со стороны набегающего потока (рис. 1);  $\Phi''_{\xi\zeta}$  — производная нагрузки в направлении оси  $\zeta$ .

Формула (2) дает решение обратной задачи в квадратурах, если заданы определяющие параметры  $\Phi'_\xi$ ,  $\Phi''_{\xi\zeta}$  во всей возмущенной области на плоскости  $\eta = 0$ . В области проекции крыла  $S$  и на ее границе  $L$  (в том числе и на участке  $L_0$ , на сверхзвуковой передней кромке  $AOB$ ), согласно постановке обратной задачи, должны быть заданы  $\Phi'_\xi = p(\xi, \zeta)$ ,  $\Phi''_{\xi\zeta} = p'_\zeta(\xi, \zeta)$ . В области  $\Sigma$  (части возмущенной области на плоскости  $\eta = 0$  вне  $S$ ) и на ее границе со стороны набегающего потока (на головных характеристиках  $AE, BF$ )  $\Phi'_\xi = \Phi''_{\xi\zeta} = 0$ . В формуле (2) интегрирование ведется только по части  $s \in S$  (заштрихованная область на рис. 1), а в контурном интеграле — только по участку  $L_0$ .

Ядра интегральных операторов в (2) имеют особенности типа  $\lim_{\xi \rightarrow x} (1/(x-\xi))$ . Для получения решения обратной задачи в классе ограниченных функций необходимо наложить следующие условия на задаваемые в области  $S + L$  определяющие параметры  $p(\xi, \zeta)$ ,  $p'_\zeta(\xi, \zeta)$  [1, 4]:

1) непрерывность нагрузки  $p(\xi, \zeta)$  во всей возмущенной области  $S + L$ ; и так как в области  $\Sigma$   $p(\xi, \zeta) = 0$ , то на дозвуковом участке передней кромки крыла  $L_1$  (на линиях  $AA_1, BB_1$ ) должно выполняться условие  $p(\xi, \zeta) = 0$ ;

2) на задней кромке крыла ( $A_1HB_1$ )  $p(\xi, \zeta) = 0$ , если она дозвуковая, условия на  $p(\xi, \zeta)$  не накладываются, если она сверхзвуковая;

3) непрерывность производной  $p'_\zeta(\xi, \zeta)$  в области  $S$  и ее ограниченность на  $L$ .

После выполнения этих необходимых условий существования интегралов в классе ограниченных функций проблемой становится возможность представления их в элементарных функциях (интегралы должны быть приводимы к табличным), что заставляет задавать определяющий параметр задачи  $p = p(\xi, \zeta)$  в наиболее простом виде.

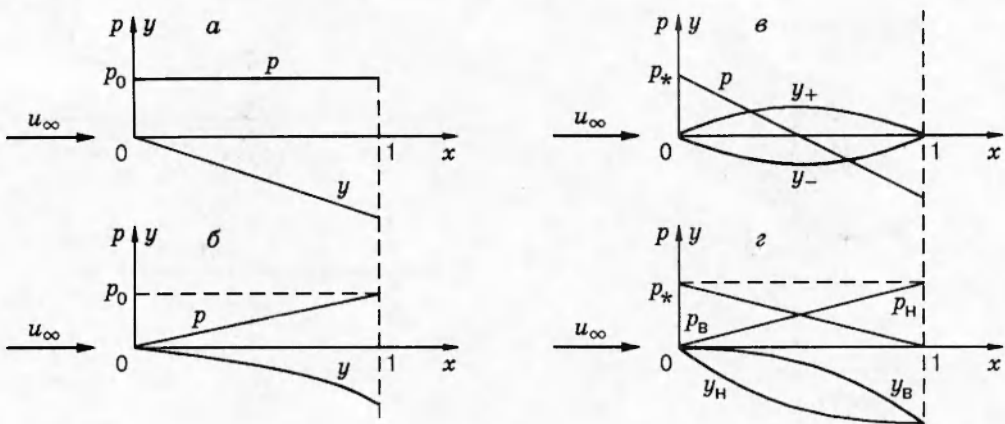


Рис. 3

Целью обратной задачи для крыла заданной формы в плане является нахождение формы поверхности крыла. Для точки  $M(x, 0, z) \in S$ , согласно линеаризованному условию непротекания  $\Phi'_y = u_\infty \sin \alpha \approx u_\infty \tan \alpha$  ( $\alpha = \alpha(x, z)$  — угол наклона касательной к оси  $x$  в сечении  $z = \text{const}$ ),  $dy/dx = \tan \alpha$ . Производная  $\Phi'_y$  определена соотношением  $\Phi'_y = F(x, z)$ , где  $F(x, z)$  — правая часть формулы (2). Таким образом, уравнение поверхности  $S$  представляется формулой

$$y(x, z) = \frac{1}{u_\infty} \int_{x_0}^x F(\xi, z) d\xi. \quad (3)$$

Здесь  $x_0 = f^-(z)$  — координата передней кромки крыла в сечении  $z = \text{const}$ .

Приведем несколько примеров решения обратной задачи в виде (2) для крыльев простой формы в плане.

1. В качестве тестового рассмотрим решение для крыла бесконечного в направлении оси  $z$  размаха (рис. 2). В этом случае область зависимости точки  $M$  целиком лежит на проекции крыла  $S$ , где задана нагрузка  $\Phi'_\xi = p(\xi)$ . В формуле (2) контурный интеграл по линии  $COD$  ( $\xi = 0$ ) исчезает, а двойной интеграл обращается в нуль в силу плоско-параллельности потока ( $\Phi''_{\xi\zeta} = 0$ ). Остается известное для крыла бесконечного размаха соотношение

$$\Phi'_y \Big|_{y=0} = -\Phi'_x \Big|_{y=0} = -p(\xi). \quad (4)$$

Используемое в литературе ошибочное (см. [4])<sup>\*</sup> решение обратной задачи [2]

$$\Phi'_y \Big|_{y=0} = -\Phi'_x \Big|_{y=0} + \frac{1}{\pi} \iint_S \Phi'_\xi \frac{(x-\xi)}{(z-\zeta)^2 \sqrt{(x-\xi)^2 - (z-\zeta)^2}} d\zeta d\xi$$

в случае крыла бесконечного размаха не переходит в имеющее место соотношение (4) — остается двойной интеграл, который предлагаю понимать в смысле Адамара.

Уравнение несущей линии в соответствии с (2)–(4) имеет вид

$$y = -\frac{1}{u_\infty} \int_0^x p(\xi) d\xi, \quad 0 \leq x \leq 1. \quad (5)$$

\* В [4] на рисунке следует поменять местами обозначения осей  $(y, \eta)$ ,  $(z, \zeta)$ .

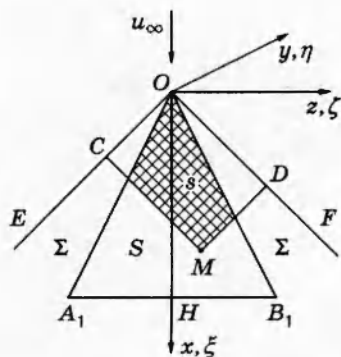


Рис. 4

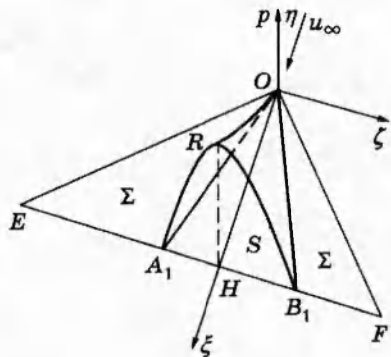


Рис. 5

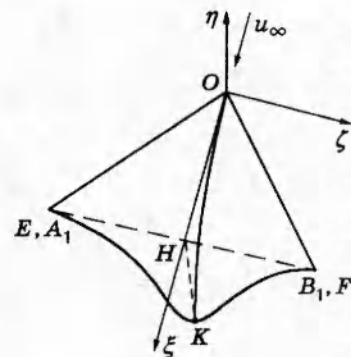


Рис. 6

На рис. 3 приведены графики несущих линий  $y = y(x)$  при различных видах нагрузки, полученные согласно (5): *a* — постоянная нагрузка  $p = p_0$ , несущая линия — пластина  $y = -(p_0/u_\infty)x$ ; *б* — линейно возрастающая нагрузка с безударным входом  $p = p_0x$ , несущая линия  $y = -(p_0/u_\infty)x^2/2$ ; *в* — нагрузка  $p = p_*(1 - 2x)$ , несущие линии — дужки, образующие параболический профиль  $y = \pm(p_*/u_\infty)x(1 - x)$ ; *г* — линейно возрастающей  $p = p_*x$  и линейно убывающей  $p_h = p_*(1 - x)$  нагрузкам соответствуют дужки  $y_b = -(p_*/u_\infty)x^2/2$ ,  $y_h = -(p_*/u_\infty)(x - x^2/2)$ , образующие замкнутый профиль, на котором перепад давлений  $p_h + p_b = p_*$  постоянен по всей длине.

2. Крыло треугольной формы в плане с полностью дозвуковыми (звуковыми) кромками (рис. 4) нагружено по закону

$$p = \frac{p_0}{k^2} (k^2 \xi^2 - \zeta^2), \quad p'_\zeta = -\frac{2p_0}{k^2} \zeta, \quad (\xi, \zeta) \in S + L, \quad 0 < k \leq 1. \quad (6)$$

На рис. 5 схематично изображена поверхность  $p = p(\xi, \zeta)$  ( $OA_1RB_1O$ ). Область  $S$  (треугольник  $OA_1B_1O$ ) — проекция крыла на базовую плоскость  $\eta = 0$  — ограничена контуром  $L$ : передние кромки проекции  $OA_1, OB_1$  ( $\zeta = \mp k\xi$ ), задняя кромка  $A_1B_1$  ( $\xi = \text{const}$ ). Для такого крыла в формуле (2) контурный интеграл отсутствует, так как на головных характеристиках  $OE, OF$  ( $\zeta = \mp \xi$ ), согласно постановке задачи,  $p = 0$ . В двойном интеграле, согласно постановке задачи, интегрирование ведется только по области  $S$ . После проведения всех необходимых процедур интегрирования в формулах (2), (3) уравнение поверхности  $y = y(x, z)$  треугольного в плане крыла  $OA_1B_1O$ , нагруженного в соответствии с формулой (6), можно записать в виде

$$y = -\frac{2p_0}{3k^2} x^3 G(c, k), \quad (7)$$

где

$$\begin{aligned} G(c, k) = & (k^2 - c^2) - \frac{1}{\pi} \left\{ k \sqrt{1 - c^2} - 2 \frac{c^2}{k} \ln \frac{1 + \sqrt{1 - c^2}}{c} + \right. \\ & + \frac{(k - c)[k^2(k - c) - 2(1 - k^2)c]}{2k\sqrt{1 - k^2}} \ln \frac{\sqrt{(1 - k^2)(1 - c^2)} + 1 - kc}{(k - c)} + \\ & \left. + \frac{(k + c)[k^2(k + c) + 2(1 - k^2)c]}{2k\sqrt{1 - k^2}} \ln \frac{\sqrt{(1 - k^2)(1 - c^2)} + 1 + kc}{(k + c)} \right\}; \\ & 0 < c \leq k \leq 1; \end{aligned}$$

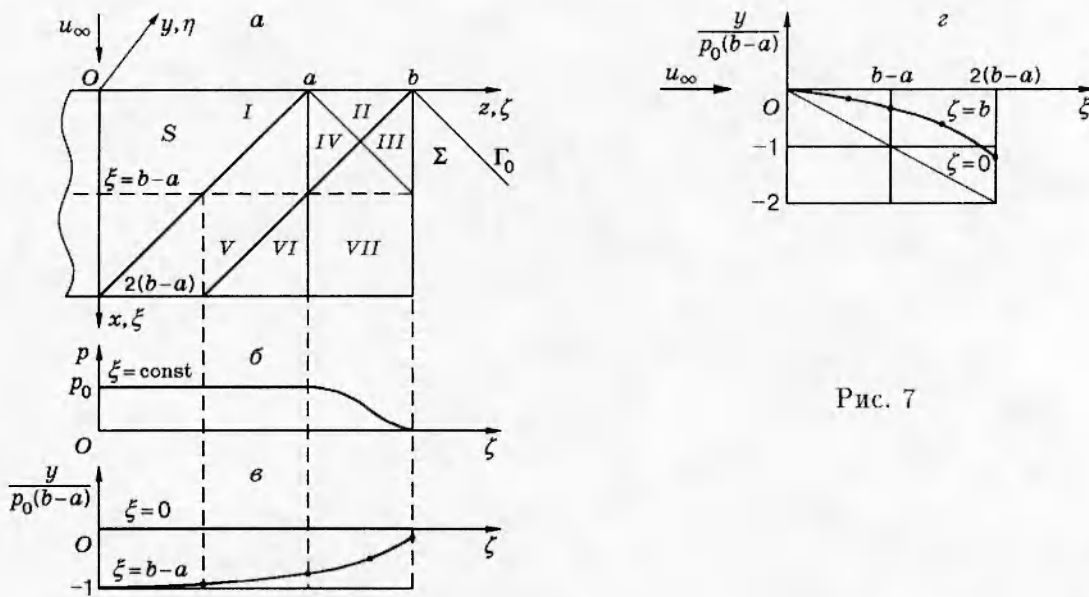


Рис. 7

$c = z/x$  — луч в базовой плоскости  $y = 0$ ;  $k = z/x$  — луч, соответствующий кромке крыла.  
Уравнение боковой кромки крыла ( $c = k$ )

$$y = \frac{2p_0}{3k\pi} x^3 \left\{ \sqrt{1-k^2} - 2 \ln \frac{1+\sqrt{1-k^2}}{k} - \frac{2}{\sqrt{1-k^2}} \ln k \right\},$$

а срединной линии ( $c = 0$ )

$$y = -\frac{2p_0}{3k} x^3 \left\{ k - \frac{1}{\pi} \left[ 1 + \frac{k^2}{\sqrt{1-k^2}} \ln \frac{1+\sqrt{1-k^2}}{k} \right] \right\}.$$

В случае крыла со звуковыми кромками ( $k = 1$ ) уравнение поверхности крыла (7) принимает вид

$$y = -\frac{2p_0}{3} x^3 \left\{ (1-c^2) - \frac{2}{\pi} \left[ \sqrt{1-c^2} - c^2 \ln \frac{1+\sqrt{1-c^2}}{c} \right] \right\}.$$

При этом для передних кромок  $OA_1, OB_1$  ( $c = k = 1$ )  $y = 0$ , а для срединной линии  $OK$  ( $c = 0, k = 1$ )

$$y = -\frac{2p_0}{3} r^3 \left( 1 - \frac{2}{\pi} \right).$$

Крыло опирается своими прямолинейными кромками  $OA_1, OB_1$  (рис. 6) на базовую плоскость  $y = 0$ , входит в поток, не внося передними кромками возмущений.

3. Крыло прямоугольной формы в плане (рис. 7, a) равномерно нагружено в корневой своей части, нагрузка на консольной части обеспечивает необходимую для получения решения в классе ограниченных функций степень гладкости при сопряжении нагрузок в областях  $S$  и  $\Sigma$  (рис. 7, б):

$$\begin{aligned} S: \quad & \Phi'_\xi = p_0, \quad \Phi''_{\xi\zeta} = 0, \quad 0 \leq \zeta \leq a, \\ & \left. \begin{aligned} \Phi'_\xi &= \frac{p_0}{(b-a)^3} (b-\zeta)^2 [3(\zeta-a) + (b-\zeta)] \\ \Phi''_{\xi\zeta} &= -\frac{6p_0}{(b-a)^3} (b-\zeta)(\zeta-a) \end{aligned} \right\} a \leq \zeta \leq b; \end{aligned}$$

$$\Sigma: \quad \Phi'_{\xi} = \Phi''_{\xi\zeta} = 0, \quad \Gamma_0: \quad \Phi'_{\xi} = 0.$$

Здесь  $\Gamma_0$  — головная характеристическая линия (рис. 7, а).

Для крыла с хордой  $2(b - a)$ , где  $(b - a)$  — протяженность консоли по размаху, существуют семь областей (области I–VII отделены друг от друга сплошными линиями) с различным видом аналитического решения, зависящего от геометрии крыла и распределения нагрузки на нем. Проведение необходимых для получения в аналитическом виде уравнения поверхности крыла процедур интегрирования сингулярных интегралов, согласно формулам (2), (3), представляет трудоемкую работу, требующую особого внимания к сингулярностям операторов. Полученные уравнения поверхности крыла в областях I–VII позволяют выявить характерные особенности геометрии крыла, но из-за их громоздкости они здесь не приводятся.

На рис. 7, б, г показано поведение поверхности крыла в характерных сечениях. Передняя кромка ( $\xi = 0$ ) остается прямолинейной и на консольном ( $a \leq \zeta \leq b$ ) участке крыла. В сечении  $\xi = b - a$  крыло «подстраивается» к задаваемому на консоли распределению давления, начиная от места пересечения с характеристикой, исходящей из точки ( $\xi = 0, \zeta = a$ ). Корневое сечение ( $\zeta = 0$ ), где давление постоянно ( $p = p_0$ ) и не оказывается влияние консольной части крыла, — прямая линия (в области I поверхность крыла — пластина). На торце ( $\zeta = b$ ) крыло как бы вписывается в набегающий поток, не внося возмущений угловой точкой ( $\xi = 0, \zeta = b$ ).

## ЛИТЕРАТУРА

1. Воробьев Н. Ф. Аэродинамика несущих поверхностей в установившемся потоке. Новосибирск: Наука, 1985.
2. Общая теория аэrodинамики больших скоростей / Под ред. У. Р. Сирса. М.: Воениздат, 1962.
3. Воробьев Н. Ф. Об одном точном решении задачи о концевом эффекте крыла конечного размаха в сверхзвуковом потоке // ПМТФ. 1992. Т. 33, № 1. С. 65–71.
4. Воробьев Н. Ф. Особенности решений задач аэродинамики крыла конечного размаха // ПМТФ. 1994. Т. 35, № 3. С. 55–66.

*Поступила в редакцию 30/IX 1996 г.*